

сообщения
объединенного
института
ядерных
исследований
дубна

1134/2-80

18/3-80
P2 - 12891

В.Л.Любошиц

ИЗОТОПИЧЕСКИЙ АНАЛИЗ
ПРОЦЕССОВ РОЖДЕНИЯ И РАСПАДА
СИСТЕМЫ $\{N\pi\pi\}$ С ИЗОСПИНОМ 5/2

1979

P2 - 12891

В.Л.Любошиц

ИЗОТОПИЧЕСКИЙ АНАЛИЗ
ПРОЦЕССОВ РОЖДЕНИЯ И РАСПАДА
СИСТЕМЫ $\{N\pi\pi\}$ С ИЗОСПИНОМ 5/2

Любошиц В.Л.

P2 - 12891

Изотопический анализ процессов рождения и распада системы $\{N\pi\pi\}$ с изоспином 5/2

В связи с экспериментальным обнаружением особенности в спектре эффективных масс комбинаций $\{\rho\pi^+\pi^+\}$ и $\{\eta\pi^-\pi^-\}$ при $M_R = 1,44$ ГэВ рассмотрены изотопические соотношения, связывающие сечения генерации различных зарядовых состояний предполагаемого резонанса с изоспином 5/2 при взаимодействии π -мезонов и нуклонов с нуклонами. Найдены отношения парциальных ширин распада состояний $R^{(5/2)}_{T_3}$ с проекциями изоспина $T_3 = \pm 5/2, \pm 3/2, \pm 1/2$. Вычислены относительные вероятности возможных каналов для реакций $\pi N \rightarrow R^{(5/2)}(\pi) \rightarrow N\pi\pi\pi$, $NN \rightarrow R^{(5/2)}(\pi N) \rightarrow NN\pi\pi\pi$, $NN \rightarrow R^{(5/2)}(N\pi\pi) \rightarrow NN\pi\pi\pi\pi$.

Работа выполнена в Лаборатории высоких энергий ОИЯИ.

Сообщение Объединенного института ядерных исследований. Дубна 1979

Lyuboshits V.L.

P2 - 12891

Isotopic Analysis of Production and Decay Processes of $\{N\pi\pi\}$ System with 5/2 Isospin

In connection with experimental discovering of an anomaly in the effective mass spectrum of $\{\rho\pi^+\pi^+\}$ and $\{\eta\pi^-\pi^-\}$ combinations at $M_R = 1.44$ GeV isotopic relations are considered which connect generation cross sections of various charge states of the proposed resonance with 5/2 isospin at the π -meson and nucleon interactions with nucleons. The ratios of decay partial widths of $R^{(5/2)}_{T_3}$ states with $T_3 = \pm 5/2, \pm 3/2, \pm 1/2$ isospin projections have been found. Relative probabilities for possible channels of the $\pi N \rightarrow R^{(5/2)}(\pi) \rightarrow N\pi\pi\pi$, $NN \rightarrow R^{(5/2)}(\pi N) \rightarrow NN\pi\pi\pi$, $NN \rightarrow R^{(5/2)}(N\pi\pi) \rightarrow NN\pi\pi\pi\pi$ reactions have been calculated.

The investigation has been performed at the Laboratory of High Energies, JINR.

Communication of the Joint Institute for Nuclear Research. Dubna 1979

Недавно в Дубне при изучении реакции $\text{pp} \rightarrow \text{pp} \pi^+ \pi^- \pi^+ \pi^-$ в пучке монохроматических нейтронов с импульсом $1,44 \pm 0,17$ ГэВ/с была обнаружена особенность в распределении эффективных масс комбинаций $\pi\pi^+$ и $\pi\pi^-$ в области $M_R = 1,44$ ГэВ $^{1/2}$. Предполагаемый резонанс должен быть экзотическим пятикварковым состоянием с изоспином $5/2$. Соответствующий изомультиплет содержит 6 состояний $R_{\pm 5/2}^{(5/2)}$, $R_{\pm 3/2}^{(5/2)}$, $R_{\pm 1/2}^{(5/2)}$, из которых в работе $^{1/1}$ наблюдались только два состояния с проекциями изоспина $T_3 = \frac{5}{2}$ и $T_3 = -\frac{5}{2}$. Для окончательного решения вопроса о существовании нового барионного резонанса необходимо убедиться в наличии аналогичных особенностей в спектре эффективных масс других комбинаций нуклона и двух π -мезонов. В связи с этим могут оказаться полезными изотопические соотношения, связывающие сечения генерации различных зарядовых состояний системы $R^{(5/2)} = \{N\pi\pi\}$ с изоспином $T = 5/2$.

При распаде $R^{(5/2)}, N\pi\pi$ система нуклон + π -мезон имеет строго определенный полный изоспин $T_{N\pi} = 3/2$, а система $\pi\pi$ - полный изоспин $T_{\pi\pi} = 2$. В связи с этим отношения вероятностей различных мод распада для состояний $R_{T_3}^{(5/2)}$ не зависят от феноменологических параметров и определяются однозначно:

$$W(R_{T_3}^{(\frac{5}{2})} \rightarrow N_{m_1} \pi_{m_2} \pi_{m_3}) = \left(C \frac{\frac{5}{2} T_3}{2} T_3 - m_2 m_2 \right)^2 \left(C \frac{\frac{3}{2} T_3 - m_2}{2} m_1 m_3 \right)^2 + \\ + \left(C \frac{\frac{5}{2} T_3}{2} T_3 - m_3 m_3 \right)^2 \left(C \frac{\frac{3}{2} T_3 - m_3}{2} m_1 m_2 \right)^2 (1 - \delta_{m_3 m_2}),$$

где

$$T_3 = \left\{ \pm \frac{5}{2}, \pm \frac{3}{2}, \pm \frac{1}{2} \right\}, m_1 = \left\{ \pm \frac{1}{2} \right\}, m_2 = \left\{ 0, \pm 1 \right\}, m_3 = \left\{ 0, \pm 1 \right\},$$

C - коэффициент Клебша-Гордона, δ - символ Кронекера. Мож-

но пользоваться также эквивалентной формулой

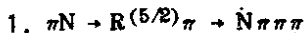
$$W(R_{T_3}^{(5/2)} \rightarrow N_{m_1 m_2 m_3}) = \left(C_{\frac{1}{2} m_1 2T_3 - m_1}^{\frac{5}{2} T_3} \right)^2 \left(C_{1m_1 2m_2 1m_3}^{2T_3 - m_1} \right) (2 - \delta_{m_2 m_3}). \quad /2/$$

Относительные вероятности возможных каналов распада $R^{(5/2)} \rightarrow N\pi\pi$ приведены в табл. 1.

Таблица 1

T_3	Моды распада	Относительные вероятности
5/2	$\rho\pi^+\pi^+$	30%
3/2	$\eta\pi^+\pi^+$	20%
	$\rho\pi^+\pi^0$	80%
1/2	$\rho\pi^+\pi^-$	20%
	$\rho\pi^0\pi^0$	40%
	$\eta\pi^+\pi^0$	40%
-1/2	$\eta\pi^+\pi^-$	20%
	$\eta\pi^0\pi^0$	40%
	$\rho\pi^-\pi^0$	40%
-3/2	$\rho\pi^-\pi^-$	20%
	$\eta\pi^-\pi^0$	80%
-5/2	$\eta\pi^-\pi^-$	100%

Рассмотрим некоторые конкретные реакции, в которых может рождаться система $R^{(5/2)}$.



Полный изоспин конечных частиц равен 3/2. С учетом этого суммарные сечения генерации предполагаемого резонанса в $\pi^+ p$ и $\pi^- p$ столкновениях должны быть связаны простым соотношением

$$\sigma_{\pi^- p} (R^{(5/2)} \pi) = \frac{1}{3} \sigma_{\pi^+ p} (R^{(5/2)} \pi). \quad /3/$$

Относительные вероятности различных каналов реакции приведены в табл. 2 и 3. Они не зависят от динамики рассматриваемых процессов и равны

$$q(M, T_3 \{m\}) = \left(C \frac{\frac{3}{2}M}{\frac{5}{2}T_3 1M - T_3} \right)^2 W(R_{T_3}^{(5/2)} \rightarrow N_{m_1 m_2 m_3}), \quad /4/$$

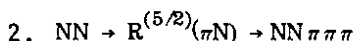
где M - сумма проекций изоспина начальных частиц, $m_1 = \{\pm \frac{1}{2}\}$, $m_2 = \{0, \pm 1\}$, $m_3 = \{0, \pm 1\}$, $W(R_{T_3}^{(5/2)} \rightarrow N_{m_1 m_2 m_3})$ определяется по формулам /1-2/.

Таблица 2

Реакции $\pi^+ p \rightarrow N \bar{N} \pi \pi$	Каналы	Относительные вероятности $q(\frac{3}{2}T_3 \{m\})$	Итого
$\pi^+ p \rightarrow p \pi^+ \pi^- \pi^+$	$R_{5/2} \pi^- \rightarrow \{\rho \pi^+ \pi^-\} \pi^+$	2/3 (66,66%)	68%
	$R_{1/2} \pi^+ \rightarrow \{\rho \pi^+ \pi^-\} \pi^+$	1/75 (1,33%)	
$\pi^+ p \rightarrow p \bar{p} \pi^+ \pi^0$	$R_{3/2} \pi^0 \rightarrow \{\rho \pi^+ \pi^0\} \pi^0$	16/75 (21,33%)	24%
	$R_{1/2} \pi^+ \rightarrow \{\rho \pi^+ \pi^0\} \pi^+$	2/75 (2,66%)	
$\pi^+ p \rightarrow p \bar{p} \pi^+ \pi^0$	$R_{1/2} \pi^+ \rightarrow \{\rho \pi^+ \pi^0\} \pi^0$	4/75 (5,33%)	8%
	$R_{1/2} \pi^+ \rightarrow \{n \pi^+ \pi^0\} \pi^+$	2/75 (2,66%)	

Таблица 3

Реакции $\pi^- p \rightarrow N \bar{N} \pi \pi$	Каналы	Относительные вероятности $q(-\frac{1}{2}T_3 \{m\})$	Итого
$\pi^- p \rightarrow p \bar{p} \pi^+ \pi^-$	$R_{1/2} \pi^- \rightarrow \{\rho \pi^+ \pi^-\} \pi^-$	4%	12%
	$R_{-1/2} \pi^+ \rightarrow \{\rho \pi^- \pi^+\} \pi^+$	8%	
$\pi^- p \rightarrow p \bar{p} \pi^0 \pi^0$	$R_{-3/2} \pi^0 \rightarrow \{\rho \pi^+ \pi^0\} \pi^0$	16%	24%
	$R_{1/2} \pi^- \rightarrow \{\rho \pi^+ \pi^0\} \pi^-$	8%	
$\pi^- p \rightarrow n \bar{n} \pi^+ \pi^0$	$R_{1/2} \pi^+ \rightarrow \{\rho \pi^+ \pi^0\} \pi^+$	8%	48%
	$R_{-1/2} \pi^+ \rightarrow \{n \pi^+ \pi^0\} \pi^0$	8%	
	$R_{-1/2} \pi^+ \rightarrow \{n \pi^0 \pi^0\} \pi^+$	32%	
$\pi^- p \rightarrow n \bar{n} \pi^0 \pi^0$	$R_{-1/2} \pi^0 \rightarrow \{n \pi^0 \pi^0\} \pi^0$	16%	16%



Полный изоспин конечных частиц равен 1, а изоспин системы (πN) равен $3/2$. При этом

$$\sigma_{np} (R^{(5/2)} \pi N) = \frac{1}{2} \sigma_{pp} (R^{(5/2)} N \pi). \quad /5/$$

Относительные вероятности различных каналов равны

$$q(M, T_3 \{m\}) = \left(C_{\frac{1}{2}T_3 \frac{3}{2}M - T_3}^{1M} \right)^2 \left(C_{\frac{1}{2}M_1 1M_2}^{\frac{3}{2}M - T_3} \right)^2 W(R_{T_3}^{(5/2)} \rightarrow N_{m_1 m_2 m_3}), /6/$$

где $W(R_{T_3}^{(5/2)} \rightarrow N_{m_1 m_2 m_3})$ определяется по формулам /1/-/2/, $M = \{0, \pm 1\}$, $m_1, M_1 = \{\pm \frac{1}{2}\}$, $m_2, m_3, M_2 = \{0, \pm 1\}$. Численные значения q приведены в табл. 4 и 5.

Таблица 4

Реакции $pp \rightarrow NN\pi\pi\pi$	Каналы	Относительные вероятности $\%$ ($T_3 \{m\}$)	Итого
$pp \rightarrow pp\pi^+\pi^-$	$R_{1/2} p\pi^- \rightarrow \{p\pi^+\pi^-\} p\pi^-$	50%	54%
	$R_{1/2} p\pi^+ \rightarrow \{p\pi^+\pi^-\} p\pi^+$	1%	
	$R_{3/2} p\pi^- \rightarrow \{p\pi^+\pi^-\} p\pi^-$	2%	
	$R_{-1/2} p\pi^+ \rightarrow \{p\pi^+\pi^-\} p\pi^+$	1%	
$pp \rightarrow pp\pi^0\pi^0$	$R_{1/2} p\pi^0 \rightarrow \{p\pi^0\pi^0\} p\pi^0$	2%	12%
	$R_{3/2} p\pi^0 \rightarrow \{p\pi^0\pi^0\} p\pi^-$	8%	
	$R_{-1/2} p\pi^0 \rightarrow \{p\pi^0\pi^0\} p\pi^+$	2%	
$pp \rightarrow pp\pi^+\pi^0$	$R_{1/2} p\pi^0 \rightarrow \{p\pi^+\pi^0\} p\pi^0$	4%	4%
$pp \rightarrow p\pi^+\pi^+\pi^0$	$R_{1/2} p\pi^0 \rightarrow \{p\pi^+\pi^0\} p\pi^0$	16%	24%
	$R_{1/2} p\pi^+ \rightarrow \{p\pi^+\pi^0\} p\pi^+$	2%	
	$R_{-1/2} p\pi^+ \rightarrow \{p\pi^+\pi^0\} p\pi^+$	2%	
$pp \rightarrow p\pi^+\pi^+\pi^+$	$R_{1/2} p\pi^+ \rightarrow \{p\pi^+\pi^+\} p\pi^+$	4%	
$pp \rightarrow p\pi^+\pi^+\pi^0$	$R_{3/2} p\pi^0 \rightarrow \{p\pi^+\pi^+\} p\pi^0$	4%	6%
	$R_{1/2} p\pi^+ \rightarrow \{p\pi^+\pi^0\} p\pi^+$	2%	

3. $NN \rightarrow R^{(5/2)}(N\pi\pi) \rightarrow NN\pi\pi\pi\pi$

В рассматриваемом случае полный изоспин конечных частиц принимает значения $T_{2N4\pi} = 1$ / pp -столкновения/ или $T_{2N4\pi} = 0$ и $T_{2N4\pi} = 1$ / $p\pi$ -столкновения/. В соответствии с этим суммарный изоспин нерезонансной системы ($N\pi\pi$) равен 5/2 или 3/2, а два π -мезона, не являющиеся продуктами распада системы $R^{(5/2)}$, могут иметь полный изоспин $T_{\pi\pi} = 2$

Таблица 5

Реакции $p\bar{p} \rightarrow N\bar{N}\pi\bar{\pi}$	Каналы	Относительные вероятности $\alpha(\alpha_i/m)$	Итого
$p\bar{p} \rightarrow p\bar{p}\pi^+\pi^-$	$R_{1/2} p\pi^+ \rightarrow \{p\pi^+\pi^-\} p\pi^-$	2%	6%
	$R_{-1/2} p\pi^+ \rightarrow \{p\pi^-\pi^+\} p\pi^+$	4%	
$p\bar{p} \rightarrow n\bar{n}\pi^+\pi^+$	$R_{-1/2} n\pi^+ \rightarrow \{n\pi^+\pi^-\} n\pi^+$	2%	6%
	$R_{3/2} n\pi^+ \rightarrow \{n\pi^+\pi^+\} n\pi^-$	4%	
$p\bar{p} \rightarrow p\bar{p}\pi^0\pi^0$	$R_{-1/2} p\pi^0 \rightarrow \{p\pi^0\pi^0\} p\pi^0$	8%	12%
	$R_{1/2} p\pi^0 \rightarrow \{p\pi^0\pi^0\} p\pi^-$	4%	
$p\bar{p} \rightarrow p\bar{p}\pi^+\pi^0$	$R_{1/2} p\pi^+ \rightarrow \{p\pi^+\pi^0\} p\pi^0$	8%	12%
	$R_{-1/2} p\pi^+ \rightarrow \{p\pi^0\pi^+\} p\pi^+$	4%	
$p\bar{p} \rightarrow n\bar{n}\pi^+\pi^+$	$R_{3/2} n\pi^+ \rightarrow \{p\pi^+\pi^+\} p\pi^-$	16%	48%
	$R_{-1/2} n\pi^+ \rightarrow \{p\pi^-\pi^+\} p\pi^+$	4%	
	$R_{-1/2} p\pi^+ \rightarrow \{n\pi^+\pi^+\} n\pi^+$	16%	
	$R_{1/2} p\pi^+ \rightarrow \{n\pi^+\pi^+\} p\pi^-$	4%	
	$R_{-1/2} n\pi^0 \rightarrow \{p\pi^0\pi^0\} p\pi^0$	4%	
	$R_{-1/2} p\pi^0 \rightarrow \{n\pi^0\pi^0\} p\pi^0$	4%	
$p\bar{p} \rightarrow n\bar{n}\pi^0\pi^0$	$R_{1/2} n\pi^0 \rightarrow \{p\pi^0\pi^0\} n\pi^0$	8%	16%
	$R_{-1/2} p\pi^0 \rightarrow \{p\pi^0\pi^0\} p\pi^0$	8%	

и $T_{\pi\pi} = 1$. Это приводит к тому, что относительные вероятности различных каналов $\{\alpha\}$ уже зависят от феноменологических параметров, величина которых определяется конкретной динамикой процесса.

Для $p\bar{p}$ -столкновений эффективные сечения каналов имеют структуру

$$\sigma_{pp} \propto \sum \left| a_{1/2}^{1/2}(f) b_{1/2}^{1/2} + a_{1/2}^{3/2}(f) b_{1/2}^{3/2} \right|^2 + \left| a_{1/2}^{3/2}(f) b_{1/2}^{1/2} \right|^2 B_{1/2; 1} \{ \alpha \} df. \quad /7/$$

Здесь интегрирование проводится по фазовому объему реакции, черта означает суммирование по проекциям обычного спина конечных частиц и усреднение по поляризациям конечных частиц, амплитуды $a_{1/2}^{1/2}(f)$, $a_{1/2}^{3/2}(f)$, $a_{1/2}^{3/2}(f)$ относятся к заданной кинематической конфигурации f и описывают соответственно вклад состояний с изоспиновыми квантовыми числами: $1/T_{2N4\pi} = 1$, $T_R = 5/2$, $T_{N2\pi} = 5/2$; $2/T_{2N4\pi} = 1$, $T_R = 5/2$,

$T_{N2\pi} = 3/2$, $T_{2\pi} = 2$; $3/T_{2N4\pi} = 1$, $T_R = 5/2$, $T_{N2\pi} = 3/2$, $T_{2\pi} = 1^*$.
Действительные численные коэффициенты удовлетворяют соотношениям ортогональности

$$\sum_{\{a\}} |b_{1\frac{5}{2}}^{(1)}|_2^2 = 1, \sum_{\{a\}} |b_{1\frac{3}{2};2}^{(1)}|_2^2 = 1, \sum_{\{a\}} B_{1\frac{3}{2};1}^{(1)} = 1, \sum_{\{a\}} b_{1\frac{5}{2}}^{(1)} b_{1\frac{3}{2};2}^{(1)} = 0. \quad /8/$$

Таким образом

$$\sum_{\{a\}} \sigma_{pp}^{\{a\}} = \int \overline{|a_{1\frac{5}{2}}(f)|^2 + |a_{1\frac{3}{2};2}(f)|^2 + |a_{1\frac{3}{2};1}(f)|^2} df. \quad /9/$$

В случае пр-столкновений

$$\sigma_{pp}^{\{\beta\}} = \frac{1}{2} \int \left| (-1)^{\frac{T_B(\beta)-1}{2}} a_0(f) \sqrt{B_0^{\{\beta\}}} + a_{1\frac{5}{2}}(f) b_{1\frac{5}{2}}^{\{\beta\}} + a_{1\frac{3}{2};2}(f) b_{1\frac{3}{2};2}^{\{\beta\}} + \right. \\ \left. + |a_{1\frac{3}{2};1}(f)|^2 B_{1\frac{3}{2};1}^{\{\beta\}} \right|^2 df, \quad /10/$$

где a_0 описывает вклад состояний с полным изоспином $T_{2N4\pi} = 0$, $a_{1\frac{5}{2}}$, $a_{1\frac{3}{2};2}$, $a_{1\frac{3}{2};1}$ имеют тот же смысл, что и в формуле /7/, коэффициенты $b_{1\frac{5}{2}}, b_{1\frac{3}{2};2}$ и $B_{1\frac{3}{2};1}^{\{\beta\}}$ удовлетворяют соотношениям /8/, $\sum_{\{\beta\}} B_0^{\{\beta\}} = 1$. Если нейтронный пучок и протонная мишень неполяризованы, то при интегрировании по полному фазовому объему конечных частиц члены, отвечающие интерференции состояний с изоспинами $T_{2N4\pi} = 0$ и $T_{2N4\pi} = 1$, обращаются в нуль:

$$\int a_0(f) a_{1\frac{5}{2}}(f) df = 0, \quad \int a_0(f) a_{1\frac{3}{2};2}(f) df = 0.$$

С учетом этого формула /10/ дает

$$\sigma_{pp}^{\{\beta\}} = \frac{1}{2} \int \overline{|a_0(f)|^2 B_0^{\{\beta\}} + |a_{1\frac{3}{2};1}(f)|^2 B_{1\frac{3}{2};1}^{\{\beta\}}} + \\ + \overline{|a_{1\frac{5}{2}}(f) b_{1\frac{5}{2}}^{\{\beta\}} + a_{1\frac{3}{2};2}(f) b_{1\frac{3}{2};2}^{\{\beta\}}|^2} df. \quad /11/$$

Эффективное сечение генерации предполагаемого резонанса $R^{(5/2)}$, просуммированное по всем каналам, равно

$$\sum_{\beta} \sigma_{pp}^{\{\beta\}} = \frac{1}{2} \int \overline{|a_0(f)|^2 + |a_{1\frac{3}{2};1}(f)|^2 + |a_{1\frac{5}{2}}(f)|^2 + |a_{1\frac{3}{2};2}(f)|^2} df. \quad /12/$$

* Интерференция двухпионных состояний с изоспинами $T_{2\pi} = 2$ и $T_{2\pi} = 1$ исчезает в результате интегрирования по углам вылета π -мезонов.

Согласно /12/ и /9/,

$$\sum_{\{B\}} \sigma_{pp}^{lat} > \frac{1}{2} \sum_{lat} \sigma_{pp}^{lat},$$

/13/

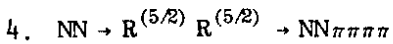
Значения коэффициентов b_{lat} , B_{lat} и $b_{\{B\}}$, $B_{\{B\}}$ приведены в табл. 6 и 7.

Таблица 6

Реакции $pp \rightarrow NN\pi\pi\pi\pi$	Каналы	$B_{1,\frac{1}{2}}$	$B_{1,\frac{3}{2};2}$	$B_{1,\frac{3}{2};L}$
$pp \rightarrow p\eta\pi^+\pi^+\pi^-\pi^0$	$R_{\eta\eta} (\eta\eta\pi^0) \rightarrow \{\rho\pi^+\pi^+\}(\eta\eta\pi^0)$	$2\sqrt{\frac{1}{35}}$	$\sqrt{\frac{1}{10}}$	$\frac{1}{2}$
	$R_{\eta\eta} (\rho\pi^+\pi^+) \rightarrow \{\eta\eta\pi^0\}(\rho\pi^+\pi^+)$	$2\sqrt{\frac{1}{35}}$	0	0
	$R_{\eta\eta} (\eta\eta\pi^+\pi^+) \rightarrow \{\rho\pi^+\pi^+\}(\eta\eta\pi^0)$	$\frac{2}{5}\sqrt{\frac{1}{35}}$	$\frac{2}{5}\sqrt{\frac{1}{20}}$	$\frac{1}{100}$
	$R_{\eta\eta} (\rho\pi^+\pi^+) \rightarrow \{\eta\eta\pi^+\pi^+\}(\rho\pi^+\pi^+)$	$\frac{3}{5}\sqrt{\frac{1}{35}}$	$-\frac{1}{5}\sqrt{\frac{1}{5}}$	$\frac{1}{25}$
	$R_{\eta\eta} (\rho\pi^+\pi^+) \rightarrow \{\eta\eta\pi^+\pi^+\}(\rho\pi^+\pi^-)$	$\frac{4}{5}\sqrt{\frac{1}{35}}$	$-\frac{2}{5}\sqrt{\frac{1}{10}}$	$\frac{1}{50}$
	$R_{\eta\eta} (\eta\eta\pi^+\pi^+) \rightarrow \{\rho\pi^+\pi^+\}(\eta\eta\pi^+)$	$\frac{4}{5}\sqrt{\frac{1}{35}}$	$\frac{2}{5}\sqrt{\frac{1}{10}}$	0
	$R_{\eta\eta} (\eta\eta\pi^+\pi^+) \rightarrow \{\rho\pi^+\pi^+\}(\eta\eta\pi^-)$	$\frac{4}{5}\sqrt{\frac{1}{35}}$	$\frac{2}{5}\sqrt{\frac{1}{5}}$	$\frac{1}{100}$
	$R_{\eta\eta} (\rho\eta\pi^+\pi^+) \rightarrow \{\eta\eta\pi^+\pi^+\}(\rho\eta\pi^+)$	$\frac{4}{5}\sqrt{\frac{1}{35}}$	$-\frac{1}{5}\sqrt{\frac{1}{20}}$	$\frac{1}{100}$
$pp \rightarrow pp\pi^+\pi^+\pi^-\pi^-$	$R_{\eta\eta} (\rho\pi^+\pi^+) \rightarrow \{\rho\pi^+\pi^+\}(\rho\pi^+\pi^-)$	$\sqrt{\frac{1}{35}}$	$-2\sqrt{\frac{1}{10}}$	0
	$R_{\eta\eta} (\rho\pi^+\pi^+) \rightarrow \{\rho\pi^+\pi^+\}(\rho\pi^+\pi^+)$	$\sqrt{\frac{1}{35}}$	0	0
	$R_{\eta\eta} (\rho\pi^+\pi^+) \rightarrow \{\rho\pi^+\pi^+\}(\rho\pi^+\pi^+)$	$\frac{3}{5}\sqrt{\frac{1}{35}}$	$-\frac{1}{5}\sqrt{\frac{1}{10}}$	$\frac{1}{50}$
$pp \rightarrow p\eta\eta\pi^+\pi^+\pi^-\pi^0$	$R_{\eta\eta} (\eta\eta\pi^+\pi^+) \rightarrow \{\rho\pi^+\pi^+\}(\eta\eta\pi^0)$	$\frac{4}{5}\sqrt{\frac{1}{35}}$	$\frac{2}{5}\sqrt{\frac{1}{10}}$	0
	$R_{\eta\eta} (\eta\eta\pi^+\pi^+) \rightarrow \{\eta\eta\pi^+\pi^+\}(\eta\eta\pi^0)$	$\frac{4}{5}\sqrt{\frac{1}{35}}$	$\frac{2}{5}\sqrt{\frac{1}{5}}$	0
	$R_{\eta\eta} (\eta\eta\pi^+\pi^+) \rightarrow \{\eta\eta\pi^+\pi^+\}(\eta\eta\pi^0)$	$\frac{6}{5}\sqrt{\frac{1}{35}}$	$\frac{3}{5}\sqrt{\frac{1}{10}}$	$\frac{1}{50}$
	$R_{\eta\eta} (\eta\eta\pi^+\pi^+) \rightarrow \{\rho\pi^+\pi^+\}(\eta\eta\pi^0)$	$\frac{6}{5}\sqrt{\frac{1}{35}}$	$-\frac{1}{5}\sqrt{\frac{1}{10}}$	0
$pp \rightarrow p\eta\eta\pi^+\pi^0\pi^+\pi^0$	$R_{\eta\eta} (\eta\eta\pi^+\pi^+) \rightarrow \{\rho\pi^+\pi^+\}(\rho\pi^+\pi^0)$	$\frac{2}{5}\sqrt{\frac{1}{35}}$	$-\frac{4}{5}\sqrt{\frac{1}{10}}$	0
	$R_{\eta\eta} (\rho\pi^+\pi^+) \rightarrow \{\eta\eta\pi^+\pi^+\}(\rho\pi^+\pi^0)$	$\frac{2}{5}\sqrt{\frac{1}{35}}$	$-\frac{1}{5}\sqrt{\frac{1}{10}}$	$\frac{1}{50}$
	$R_{\eta\eta} (\eta\eta\pi^+\pi^+) \rightarrow \{\rho\pi^+\pi^+\}(\rho\pi^+\pi^0)$	$\frac{6}{5}\sqrt{\frac{1}{35}}$	$\frac{2}{5}\sqrt{\frac{1}{10}}$	$\frac{1}{50}$
	$R_{\eta\eta} (\rho\eta\pi^+\pi^+) \rightarrow \{\eta\eta\pi^+\pi^+\}(\rho\pi^+\pi^0)$	$\frac{6}{5}\sqrt{\frac{1}{35}}$	$-\frac{2}{5}\sqrt{\frac{1}{10}}$	0
$pp \rightarrow pp\pi^+\pi^-\pi^+\pi^0$	$R_{\eta\eta} (\rho\pi^+\pi^+) \rightarrow \{\rho\pi^+\pi^+\}(\rho\pi^+\pi^0)$	$\frac{2}{5}\sqrt{\frac{1}{35}}$	$-\frac{4}{5}\sqrt{\frac{1}{10}}$	$\frac{2}{25}$
	$R_{\eta\eta} (\rho\pi^+\pi^+) \rightarrow \{\rho\pi^+\pi^+\}(\rho\pi^+\pi^0)$	$\frac{2}{5}\sqrt{\frac{1}{35}}$	$-\frac{1}{5}\sqrt{\frac{1}{10}}$	$\frac{1}{50}$
	$R_{\eta\eta} (\rho\pi^+\pi^+) \rightarrow \{\rho\pi^+\pi^+\}(\rho\pi^+\pi^0)$	$\frac{2}{5}\sqrt{\frac{1}{35}}$	$-\frac{1}{5}\sqrt{\frac{1}{5}}$	$\frac{1}{25}$
	$R_{\eta\eta} (\rho\pi^+\pi^+) \rightarrow \{\rho\pi^+\pi^+\}(\rho\pi^+\pi^0)$	$\frac{2}{5}\sqrt{\frac{1}{35}}$	$-\frac{1}{5}\sqrt{\frac{1}{5}}$	0
$pp \rightarrow pp\pi^+\pi^-\pi^+\pi^0$	$R_{\eta\eta} (\rho\pi^+\pi^+) \rightarrow \{\rho\pi^+\pi^+\}(\rho\pi^+\pi^0)$	$\frac{2}{5}\sqrt{\frac{1}{35}}$	$-\frac{4}{5}\sqrt{\frac{1}{10}}$	0
$pp \rightarrow p\eta\eta\pi^+\pi^+\pi^-\pi^-$	$R_{\eta\eta} (\eta\eta\pi^+\pi^+) \rightarrow \{\eta\eta\pi^+\pi^+\}(\eta\eta\pi^-)$	$\frac{16}{5}\sqrt{\frac{1}{35}}$	$\frac{1}{5}\sqrt{\frac{1}{5}}$	$\frac{1}{25}$
	$R_{\eta\eta} (\eta\eta\pi^+\pi^+) \rightarrow \{\eta\eta\pi^+\pi^+\}(\eta\eta\pi^-)$	$\frac{16}{5}\sqrt{\frac{1}{35}}$	$\frac{1}{5}\sqrt{\frac{1}{5}}$	0

Таблица 7

Реакции $p\bar{p} \rightarrow NN\pi\bar{\pi}\pi\bar{\pi}$	Каналы	$B_0^{(0)}$	$B_{1,\pm}^{(0)}$	$B_{1,\pm;2}^{(0)}$	$B_{1,\pm;2}^{(1)}$
$p\bar{p} \rightarrow p\bar{p}\pi^+\pi^+\pi^-\pi^-$	$R_{5/2}(\pi\bar{\pi}\pi^+) \rightarrow \{\rho\pi^+\pi^+\}(\pi\bar{\pi}\pi^+)$	$\frac{1}{6}$	$5\sqrt{\frac{1}{20}}$	0	0
	$R_{-5/2}(\rho\pi^+\pi^+) \rightarrow \{\rho\pi^+\pi^+\}(\rho\pi^+\pi^+)$	$\frac{1}{6}$	$5\sqrt{\frac{1}{20}}$	0	0
	$R_{-1/2}(\rho\pi^+\pi^+) \rightarrow \{\rho\pi^+\pi^+\}(\rho\pi^+\pi^+)$	$\frac{1}{150}$	$\frac{1}{5}\sqrt{\frac{1}{20}}$	$-\frac{1}{5}\sqrt{\frac{1}{5}}$	$\frac{1}{25}$
	$R_{1/2}(\pi\bar{\pi}\pi^+) \rightarrow \{\rho\pi^+\pi^+\}(\pi\bar{\pi}\pi^+)$	$\frac{1}{150}$	$\frac{1}{5}\sqrt{\frac{1}{20}}$	$-\frac{1}{5}\sqrt{\frac{1}{5}}$	$\frac{1}{25}$
	$R_{-3/2}(\pi\bar{\pi}\pi^+) \rightarrow \{\rho\pi^+\pi^+\}(\pi\bar{\pi}\pi^+)$	$\frac{1}{150}$	$-\frac{2}{5}\sqrt{\frac{1}{20}}$	$-\frac{2}{5}\sqrt{\frac{1}{5}}$	0
	$R_{3/2}(\rho\pi^+\pi^+) \rightarrow \{\rho\pi^+\pi^+\}(\rho\pi^+\pi^+)$	$\frac{1}{150}$	$-\frac{2}{5}\sqrt{\frac{1}{20}}$	$-\frac{2}{5}\sqrt{\frac{1}{5}}$	0
$p\bar{p} \rightarrow p\bar{p}\pi^+\pi^-\pi^+\pi^-$	$R_{1/2}(\rho\pi^+\pi^-) \rightarrow \{\rho\pi^+\pi^-\}(\rho\pi^+\pi^-)$	$\frac{1}{25}$	$\frac{1}{5}\sqrt{\frac{1}{20}}$	$\frac{2}{5}\sqrt{\frac{1}{10}}$	$\frac{1}{50}$
	$R_{-1/2}(\rho\pi^+\pi^-) \rightarrow \{\rho\pi^+\pi^-\}(\rho\pi^+\pi^-)$	$\frac{1}{25}$	$\frac{1}{5}\sqrt{\frac{1}{20}}$	$-\frac{3}{5}\sqrt{\frac{1}{10}}$	$\frac{2}{25}$
	$R_{-3/2}(\rho\pi^+\pi^-) \rightarrow \{\rho\pi^+\pi^-\}(\rho\pi^+\pi^-)$	$\frac{2}{25}$	$-\frac{6}{5}\sqrt{\frac{1}{20}}$	$\frac{1}{5}\sqrt{\frac{1}{5}}$	$\frac{1}{25}$
	$R_{3/2}(\rho\pi^+\pi^-) \rightarrow \{\rho\pi^+\pi^-\}(\rho\pi^+\pi^-)$	$\frac{2}{25}$	$-\frac{6}{5}\sqrt{\frac{1}{20}}$	$-\frac{6}{5}\sqrt{\frac{1}{5}}$	0
$p\bar{p} \rightarrow p\bar{p}\pi^+\pi^+\pi^+\pi^-$	$R_{5/2}(\pi\bar{\pi}\pi^+) \rightarrow \{\rho\pi^+\pi^+\}(\pi\bar{\pi}\pi^+)$	$\frac{1}{25}$	$\frac{1}{5}\sqrt{\frac{1}{20}}$	$-\frac{1}{5}\sqrt{\frac{2}{5}}$	$\frac{3}{25}$
	$R_{-5/2}(\rho\pi^+\pi^+) \rightarrow \{\rho\pi^+\pi^+\}(\rho\pi^+\pi^+)$	$\frac{1}{25}$	$\frac{1}{5}\sqrt{\frac{1}{20}}$	$-\frac{1}{5}\sqrt{\frac{2}{5}}$	0
	$R_{-1/2}(\rho\pi^+\pi^+) \rightarrow \{\rho\pi^+\pi^+\}(\rho\pi^+\pi^+)$	$\frac{1}{25}$	$\frac{1}{5}\sqrt{\frac{1}{20}}$	$-\frac{1}{5}\sqrt{\frac{2}{5}}$	0
	$R_{1/2}(\pi\bar{\pi}\pi^+) \rightarrow \{\rho\pi^+\pi^+\}(\pi\bar{\pi}\pi^+)$	$\frac{1}{25}$	$\frac{1}{5}\sqrt{\frac{1}{20}}$	$-\frac{1}{5}\sqrt{\frac{2}{5}}$	0
	$R_{-3/2}(\pi\bar{\pi}\pi^+) \rightarrow \{\rho\pi^+\pi^+\}(\pi\bar{\pi}\pi^+)$	$\frac{1}{25}$	$\frac{1}{5}\sqrt{\frac{1}{20}}$	$-\frac{1}{5}\sqrt{\frac{2}{5}}$	$\frac{2}{25}$
	$R_{4/2}(\rho\pi^+\pi^+) \rightarrow \{\rho\pi^+\pi^+\}(\rho\pi^+\pi^+)$	$\frac{2}{25}$	$\frac{2}{5}\sqrt{\frac{1}{20}}$	$\frac{3}{5}\sqrt{\frac{1}{5}}$	$\frac{1}{25}$
	$R_{-4/2}(\rho\pi^+\pi^+) \rightarrow \{\rho\pi^+\pi^+\}(\rho\pi^+\pi^+)$	$\frac{8}{25}$	$-\frac{12}{5}\sqrt{\frac{1}{20}}$	$\frac{2}{5}\sqrt{\frac{1}{5}}$	$\frac{4}{25}$
	$R_{3/2}(\rho\pi^+\pi^+) \rightarrow \{\rho\pi^+\pi^+\}(\rho\pi^+\pi^+)$	$\frac{8}{25}$	$-\frac{12}{5}\sqrt{\frac{1}{20}}$	$\frac{2}{5}\sqrt{\frac{1}{5}}$	$\frac{2}{25}$
$p\bar{p} \rightarrow p\bar{p}\pi^+\pi^-\pi^+\pi^+$	$R_{1/2}(\rho\pi^+\pi^-) \rightarrow \{\rho\pi^+\pi^-\}(\rho\pi^+\pi^-)$	$\frac{2}{25}$	$\frac{2}{5}\sqrt{\frac{1}{20}}$	$-\frac{2}{5}\sqrt{\frac{1}{5}}$	0
	$R_{-1/2}(\rho\pi^+\pi^-) \rightarrow \{\rho\pi^+\pi^-\}(\rho\pi^+\pi^-)$	$\frac{2}{25}$	$\frac{2}{5}\sqrt{\frac{1}{20}}$	$-\frac{2}{5}\sqrt{\frac{1}{5}}$	0
$p\bar{p} \rightarrow p\bar{p}\pi^+\pi^+\pi^+\pi^-$	$R_{3/2}(\pi\bar{\pi}\pi^+) \rightarrow \{\rho\pi^+\pi^+\}(\pi\bar{\pi}\pi^+)$	$\frac{2}{25}$	$-\frac{6}{5}\sqrt{\frac{1}{20}}$	$\frac{1}{5}\sqrt{\frac{1}{5}}$	$\frac{2}{25}$
	$R_{-3/2}(\rho\pi^+\pi^+) \rightarrow \{\rho\pi^+\pi^+\}(\rho\pi^+\pi^+)$	$\frac{2}{25}$	$-\frac{6}{5}\sqrt{\frac{1}{20}}$	$-\frac{2}{5}\sqrt{\frac{1}{5}}$	0
	$R_{4/2}(\rho\pi^+\pi^+) \rightarrow \{\rho\pi^+\pi^+\}(\rho\pi^+\pi^+)$	$\frac{1}{25}$	$\frac{1}{5}\sqrt{\frac{1}{20}}$	$-\frac{2}{5}\sqrt{\frac{1}{10}}$	$\frac{2}{25}$
	$R_{-4/2}(\rho\pi^+\pi^+) \rightarrow \{\rho\pi^+\pi^+\}(\rho\pi^+\pi^+)$	$\frac{1}{25}$	$\frac{1}{5}\sqrt{\frac{1}{20}}$	$\frac{1}{5}\sqrt{\frac{1}{5}}$	$\frac{1}{50}$
$p\bar{p} \rightarrow p\bar{p}\pi^+\pi^-\pi^+\pi^+$	$R_{4/2}(\pi\bar{\pi}\pi^+) \rightarrow \{\rho\pi^+\pi^+\}(\rho\pi^+\pi^+)$	$\frac{2}{25}$	$\frac{2}{5}\sqrt{\frac{1}{20}}$	$-\frac{2}{5}\sqrt{\frac{1}{4}}$	0
	$R_{-4/2}(\rho\pi^+\pi^+) \rightarrow \{\rho\pi^+\pi^+\}(\rho\pi^+\pi^+)$	$\frac{2}{25}$	$\frac{2}{5}\sqrt{\frac{1}{20}}$	$\frac{3}{5}\sqrt{\frac{1}{5}}$	$\frac{1}{25}$
$p\bar{p} \rightarrow p\bar{p}\pi^+\pi^+\pi^+\pi^-$	$R_{4/2}(\rho\pi^+\pi^+) \rightarrow \{\rho\pi^+\pi^+\}(\rho\pi^+\pi^+)$	$\frac{2}{25}$	$\frac{2}{5}\sqrt{\frac{1}{20}}$	$\frac{3}{5}\sqrt{\frac{1}{5}}$	$\frac{1}{25}$
	$R_{-4/2}(\rho\pi^+\pi^+) \rightarrow \{\rho\pi^+\pi^+\}(\rho\pi^+\pi^+)$	$\frac{2}{25}$	$\frac{2}{5}\sqrt{\frac{1}{20}}$	$-\frac{2}{5}\sqrt{\frac{1}{5}}$	0



Если рассматриваются реакции с образованием двух систем $R^{(5/2)}$, то в формулах /7/ и /10/, /11/ следует приравнять нулю амплитуды $a_{1\frac{3}{2};2}$ и $a_{1\frac{3}{2};1}$. Это дает

$$\sigma_{pp}^{\{a\}} = A_1 |b_{1\frac{5}{2};2}^{\{a\}}|^2 \eta, \quad \sigma_{np}^{\{\beta\}} = \frac{1}{2} (A_0 B_0^{\{\beta\}} + A_1 |b_{1\frac{5}{2};2}^{\{\beta\}}|^2) \eta, \quad /14/$$

где $A_1 = \int |a_{1\frac{5}{2}}(f)|^2 df$, $A_0 = \int |a_0(f)|^2 df$, значения $b_{1\frac{5}{2};2}^{\{a\}}$ указаны в первом столбце табл. 6, а значения $B_0^{\{\beta\}}$ и $b_{1\frac{5}{2};2}^{\{\beta\}}$ - в первом и во втором столбцах табл. 7; $\eta=2$, если две комбинации $\{N\pi\pi\}$ различны, и $\eta=1$, если две комбинации $\{N\pi\pi\}$ одинаковы.

Ниже вычислены следующие из наших формул и таблиц изотопические равенства и неравенства для реакций без нейтральных частиц в конечном состоянии или с одной нейтральной частицей /в фигурных скобках указаны продукты распада резонанса/

$$\begin{aligned} \sigma_{\pi^+ p}^{\{(\{p\pi^+\pi^-\}\pi^+)\}} &= \sigma_{\pi^- p}^{\{(\{p\pi^+\pi^-\}\pi^-)\}} = \\ &= \frac{1}{2} \sigma_{\pi^- p}^{\{(\{p\pi^-\pi^-\}\pi^+)\}} = \frac{1}{50} \sigma_{\pi^+ p}^{\{(\{p\pi^+\pi^+\}\pi^-)\}}, \end{aligned} \quad /15/$$

$$\begin{aligned} \sigma_{pp}^{\{(\{p\pi^+\pi^-\}\pi\pi^+)\}} &= \sigma_{pp}^{\{(\{n\pi^+\pi^-\}\pi\pi^+)\}} = \\ &= \sigma_{np}^{\{(\{p\pi^+\pi^-\}\pi\pi^-)\}} = \frac{1}{2} \sigma_{pp}^{\{(\{n\pi^+\pi^+\}\pi\pi^-)\}} = \end{aligned} \quad /16/$$

$$= \frac{1}{2} \sigma_{np}^{\{(\{p\pi^-\pi^-\}\pi\pi^+)\}} = \frac{1}{8} \sigma_{pp}^{\{(\{p\pi^+\pi^0\}\pi\pi^-)\}} = -\frac{1}{50} \sigma_{pp}^{\{(\{p\pi^+\pi^+\}\pi\pi^-)\}}, \quad /17/$$

$$\frac{9}{625} < \frac{\sigma_{np}^{\{(\{p\pi^-\pi^-\}\{n\pi^+\pi^+\})}}}{\sigma_{np}^{\{(\{p\pi^+\pi^+\}\{n\pi^-\pi^-\})}}} < \frac{1}{25},$$

$$\frac{1}{9} < \frac{\sigma_{np}^{\{(\{p\pi^+\pi^-\}\{n\pi^+\pi^-\})}}}{\sigma_{np}^{\{(\{p\pi^-\pi^-\}\{n\pi^+\pi^+\})}}} < 1, \quad /18/$$

$$\frac{36}{625} < \frac{\sigma_{np}^{\{(\{p\pi^+\pi^-\}\{p\pi^-\pi^0\})}}}{\sigma_{np}^{\{(\{p\pi^-\pi^-\}\{p\pi^+\pi^0\})}}} < \frac{1}{2}. \quad /19/$$

Приведенные выше расчеты были выполнены по инициативе Ю.А.Трояна. Автор выражает глубокую благодарность Ю.А.Трояну и А.В.Никитину за интерес к работе и ценные обсуждения.

ЛИТЕРАТУРА

1. Абдивалиев А. и др. ЯФ, 1979, 29, с.1545.

Рукопись поступила в издательский отдел
29 октября 1979 года.